

# 进一步指认近质子滴线核 $^{129}\text{Pm}$ 的衰变\*

徐树威<sup>1;1)</sup> 谢元祥<sup>1</sup> 许甫荣<sup>2</sup> 李占奎<sup>1</sup> 王旭东<sup>1</sup> 邢烨炳<sup>1</sup>

1(中国科学院近代物理研究所 兰州 730000)

2(北京大学技术物理系 北京 100087)

**摘要** 2004年曾报道过利用 $^{40}\text{Ca} + ^{92}\text{Mo}$ 融合蒸发反应产生了近质子滴线新核素 $^{129}\text{Pm}$ ,并首次观测到它( $\text{EC} + \beta^+$ )衰变产生的能量为99keV的 $\gamma$ 射线。为了进一步确认上述指认,以下提供了三方面的证据:1)在164—190MeV能量范围内测量了99keV衰变 $\gamma$ 射线的激发函数;2)进行了交叉反应 $^{36}\text{Ar} + ^{96}\text{Ru}$ 的实验,观察到了相同的99keV衰变 $\gamma$ 射线;3)用Woods-Saxon Strutinsky方法计算了 $^{129}\text{Pm}$ 的核势能面,其基态自旋宇称被预言为 $5/2^-$ ,所以 $^{129}\text{Pm}$ 的( $\text{EC} + \beta^+$ )衰变有利于馈送到子核 $^{129}\text{Nd}$ 的 $5/2^-$ 的低位态,这也与前期报道相符。

**关键词** 质子滴线 激发函数 交叉反应 Woods-Saxon Strutinsky方法 核势能面

## 1 引言

2004年我们曾在本刊<sup>[1]</sup>报道过:借助重离子引起的融合蒸发反应 $^{92}\text{Mo}(^{40}\text{Ca}, p2n)$ 合成了质子滴线附近的未知核素 $^{129}\text{Pm}$ ,并且配合氦喷嘴快速带传输系统利用“X- $\gamma$ ”符合方法对它进行了首次鉴别。 $^{40}\text{Ca}$ 的入射能量为183MeV(本文以下谈到的束流能量均为入射能量),相当于在靶芯处的能量176MeV。实验观测到了经 $^{129}\text{Pm}$ 的( $\text{EC} + \beta^+$ )衰变产生的,对应于子核 $^{129}\text{Nd}$ 中已知的 $5/2^- \rightarrow 1/2^-$ 跃迁的一条99keV $\gamma$ 射线<sup>[2]</sup>。根据这条 $\gamma$ 射线的时间衰变曲线,提取出 $^{129}\text{Pm}$ 的半衰期为 $(2.4 \pm 0.6)\text{s}$ 。

为了确认这条99keV $\gamma$ 射线的确是来自 $^{129}\text{Pm}$ 的( $\text{EC} + \beta^+$ )衰变,最近我们又完成了以下三方面的工作,获得了进一步的证据。

## 2 激发函数

在文献[1]的图1中,给出了测量183MeV $^{40}\text{Ca} + ^{92}\text{Mo}$ 反应产物衰变时,用 $\text{Nd-K}_\alpha$ -X开门的 $\gamma(X)$ 射

线谱。在该图中除了 $\text{Nd-K}_\alpha$ -X和 $\text{Nd-K}_\beta$ -X射线外,我们还看到了 $^{130}\text{Pm}$ ( $\text{EC} + \beta^+$ )衰变中最强烈的159keV $\gamma$ 射线<sup>[3]</sup>和一条新的99keV $\gamma$ 射线。这说明该99keV $\gamma$ 射线来自某种Pm同位素的( $\text{EC} + \beta^+$ )衰变。根据已知的子核 $^{129}\text{Nd}$ 的在束 $\gamma$ 谱<sup>[2]</sup>,这条99keV $\gamma$ 射线正对应于 $^{129}\text{Nd}$ 的低位态 $5/2^- \rightarrow 1/2^-$ 的 $\gamma$ 跃迁。所以

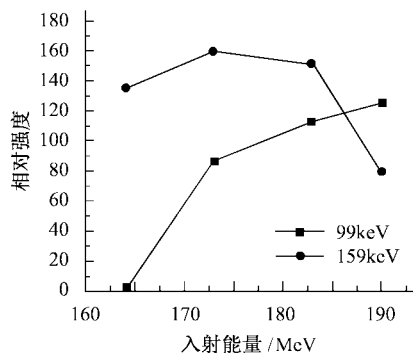


图1 99keV和159keV衰变 $\gamma$ 射线的激发函数

图中数据点代表了99keV和159keV两条 $\gamma$ 射线的相对强度,但其中99keV的 $\gamma$ 射线的强度放大了2.5倍。所有数据点的相对误差约为20%。

2004-07-09 收稿

\* 国家自然科学基金(10375078, 10175002), 中国科学院综合计划局, 国家重点基础研究发展计划项目(G2000077402)资助

1) E-mail: xsw@ns.lzb.ac.cn

在文献[1]中首次指认这条99keV  $\gamma$ 射线属于 $^{129}\text{Pm}$ 的( $\text{EC} + \beta^+$ )衰变。为了进一步弄清99keV  $\gamma$ 射线的来源,在入射能量164—190MeV范围内,我们对比做了99keV和159keV这两条 $\gamma$ 射线的激发函数(如图1所示)。这两条激发函数不同说明来自Pm不同的同位素。从趋势来看99keV  $\gamma$ 射线激发函数的极值能量高于159keV  $\gamma$ 射线激发函数的极值能量,说明99keV  $\gamma$ 射线来自比 $^{130}\text{Pm}$ 更轻的同位素。所以这个事实也是支持我们指认99keV  $\gamma$ 射线来自 $^{129}\text{Pm}$ ( $\text{EC} + \beta^+$ )衰变的。

### 3 交叉反应

交叉反应方法是一种常用的鉴别核素的方法。它是指用不同的弹靶组合来产生同一复合核,以便识别该复合核生成的余核衰变。我们曾利用能量为171MeV的重离子 $^{36}\text{Ar}$ 轰击 $^{96}\text{Ru}$ 靶,产生相当于 $^{40}\text{Ca} + ^{92}\text{Mo}$ 反应的复合核 $^{132}\text{Sm}$ ,这也再一次观测蒸发p2n后所得到的余核 $^{129}\text{Pm}$ 的衰变。图2就是观测 $^{36}\text{Ar} + ^{96}\text{Ru}$ 反应产物衰变时,用Nd-K<sub>a</sub>-X开门的 $\gamma(X)$ 射线谱。图中除Nd的X射线峰外,出现的较强的 $\gamma$ 射线都属于各种Pm同位素的已知的衰变 $\gamma$ 射线。其中也包括曾被我们指认属于 $^{129}\text{Pm}$ 衰变的99keV  $\gamma$ 射线。应当指出:实验用的是金属Ru靶,其中 $^{96}\text{Ru}$ 的富集度为90%,另外还含有少量的 $^{99}\text{Ru}$ , $^{100}\text{Ru}$ 和 $^{101}\text{Ru}$ ,图2中显示的 $^{132}\text{Pm}$ , $^{133}\text{Pm}$ , $^{134}\text{Pm}$ 和 $^{135}\text{Pm}$ 的衰变 $\gamma$ 射线是 $^{36}\text{Ar}$ 轰击Ru靶中 $^{99-101}\text{Ru}$ 同位素所产生的。

文献[1]的图1是观测183MeV的 $^{40}\text{Ca}$ 轰击 $^{92}\text{Mo}$

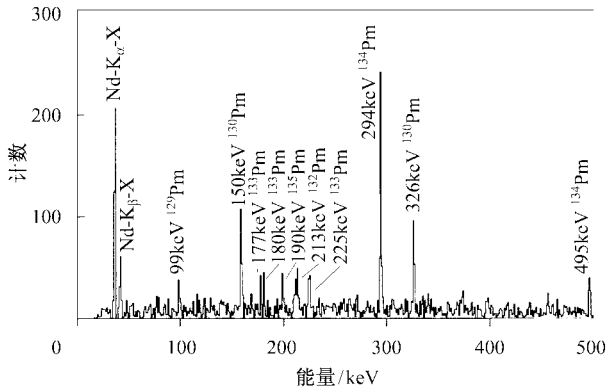


图2 观测171MeV  $^{36}\text{Ar} + ^{96}\text{Ru}$ 反应产物的衰变时,

用Nd-K<sub>a</sub>-X开门的 $\gamma(X)$ 射线谱

图中的强峰都标记了它们的能量和对应的( $\text{EC} + \beta^+$ )缓发 $\gamma$ 的先驱核。

反应产物的衰变时,用Nd-K<sub>a</sub>-X开门的 $\gamma(X)$ 射线谱。现在,我们把171MeV  $^{36}\text{Ar}$ 轰击 $^{96}\text{Ru}$ 反应的实验结果加一对比,绘成了图3。图3说明形成相同复合核的交叉反应,得到了相同的余核,表现出了相同的衰变特性,即从交叉的两种反应产物中看到了相对强度大致相同的属于 $^{129}\text{Pm}$ 衰变的159keV  $\gamma$ 射线和属于 $^{129}\text{Pm}$ 衰变的99keV  $\gamma$ 射线。这个事实再一次支持文献[1]把99keV  $\gamma$ 射线指认属于 $^{129}\text{Pm}$ 的( $\text{EC} + \beta^+$ )衰变。

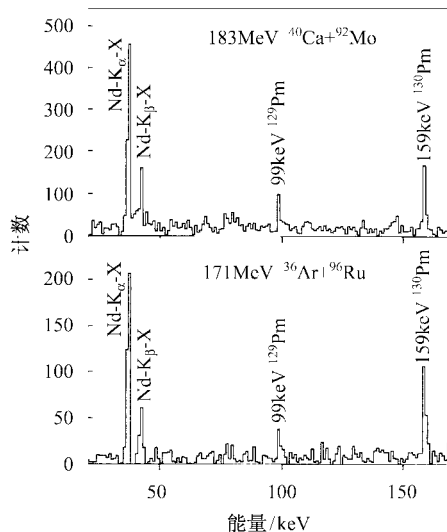


图3 183MeV  $^{40}\text{Ca} + ^{92}\text{Mo}$  和 171MeV  $^{36}\text{Ar} + ^{96}\text{Ru}$  反应产物衰变时 Nd-K<sub>a</sub>-X 开门测得的 $\gamma(X)$ 射线谱的对比图

### 4 计算核势能面

我们利用Woods-Saxon Strutinsky方法<sup>[4]</sup>计算

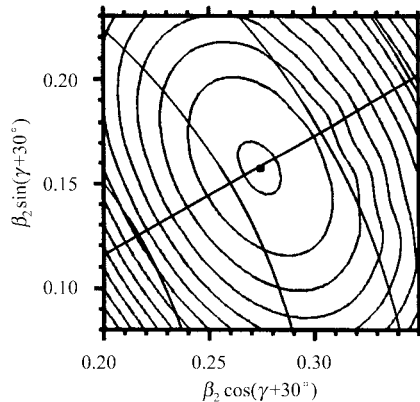


图4 用 Woods-Saxon Strutinsky 方法计算得到的

$^{129}\text{Pm}$ 核位能面的负宇称组态

图中极小值对应于  $\beta_2 = 0.316$  和  $\gamma = -0.1^\circ$ 。

了 $^{129}\text{Pm}$ 的核势能面. 对应负宇称组态(图4)发现了一个极小值, 它对应于  $\beta_2 = 0.316$  和  $\gamma = -0.1^\circ$ . 表明最后一个质子处于  $\pi 5/2^-$  [532] 轨道, 即 $^{129}\text{Pm}$  的基态自旋宇称为  $5/2^-$ . 这与 1997 年 Möller 等人所预言的 $^{129}\text{Pm}$  的基态自旋和宇称为  $5/2^-$ <sup>[5]</sup>是相符的. 按照这种预言和  $\beta$  衰变的选择定则, $^{129}\text{Pm}(\text{EC} +$

$\beta^+)$  衰变应当通过容许跃迁优先馈送到子核 $^{129}\text{Nd}$  中具有自旋为  $3/2^-$ ,  $5/2^-$ , 或  $7/2^-$  的低位能级. 我们从实验上首先观察到了由 $^{129}\text{Pm}(\text{EC} + \beta^+)$  衰变引起的子核 $^{129}\text{Nd}$  中  $5/2^- \rightarrow 1/2^-$  跃迁. 这个实验事实与两种理论预言的 $^{129}\text{Pm}$  的基态自旋是协调一致的.

## 参考文献(References)

- 1 XU S W, XIE Y X, LI Z K et al. High Energy Phys. and Nucl. Phys., 2004, **28**: 158—160 (in Chinese)  
(徐树威, 谢元祥, 李占奎等, 高能物理与核物理, 2004, **28**(2): 158—160)
- 2 Zeidan O, Hartley D J, Riedinger L L et al. Phys. Rev., 2002, **C65**:

024303

- 3 XIE Y X, XU S W, LI Z K et al. Eur. Phys. J., 1999, **A5**: 341—345
- 4 Nazarewicz W, Dudek J, Bengtsson R et al. Nucl. Phys., 1985, **A435**: 397—430
- 5 Möller P, Nix J R, Kratz K L. At. Data Nucl. Data Tables, 1997, **66**: 131—343

## Further Identification of the Decay of $^{129}\text{Pm}$ Near the Proton Drip Line\*

XU Shu-Wei<sup>1;1)</sup> XIE Yuan-Xiang<sup>1</sup> XU Fu-Rong<sup>2</sup> LI Zhan-Kui<sup>1</sup> WANG Xu-Dong<sup>1</sup> XING Ye-Bing<sup>1</sup>

1 (Institute of Modern Physics, Chinese Academy of Sciences, Lanzhou 730000, China)

2 (Department of Technical Physics, Peking University, Beijing 100087, China)

**Abstract** It was reported in our previous paper in 2004 that the unknown isotope  $^{129}\text{Pm}$  near the proton drip line was produced via the fusion-evaporation reaction  $^{40}\text{Ca} + ^{92}\text{Mo}$ , and a 99keV  $\gamma$  line was assigned to the  $(\text{EC} + \beta^+)$  decay of  $^{129}\text{Pm}$  for the first time. In order to confirm the assignment, following three new evidences are provided in this paper. 1) The excitation function of the 99keV  $\gamma$  line was made from 164MeV to 190MeV of the incident energy. 2) A cross bombardment  $^{36}\text{Ar} + ^{96}\text{Ru}$  was carried out, from which the same 99keV  $\gamma$  transition was observed. 3) The nuclear potential-energy-surface (PES) of  $^{129}\text{Pm}$  was calculated by using the Woods-Saxon Strutinsky method. The ground state spin and parity of  $^{129}\text{Pm}$  was then predicted to be  $5/2^-$ . This prediction leads to a  $5/2^-$  low-lying state in the daughter nucleus  $^{129}\text{Nd}$  via the  $(\text{EC} + \beta^+)$  decay of  $^{129}\text{Pm}$  favorably.

**Key words** proton drip line, excitation function, Cross reaction, Woods-Saxon Strutinsky method, nuclear potential energy surface

Received 9 July 2004

\* Supported by the National Natural Science Foundation of China (10375078, 10175002), the Chinese Academy of Sciences, the Major State Basic Research Development Program (C2000077402)

1) E-mail: xsw@ns.lzb.ac.cn